

объем, чем эквивалентное количество молекул  $K^+Cl^-$ , и должно было бы проявляться в виде «междоузельного» дефекта.

Аддитивное окрашивание  $NaCl$  приводит к образованию коллоидных частиц, окруженных метастабильной фазой аналогично [8]. В этом случае ДРРЛ обнаруживает наличие дефектов вакансационного типа, как и должно быть в данном случае, поскольку в отличие от  $KCl$  в  $NaCl$  выделение ОЦК натрия меньше, чем объем эквивалентного по количеству молекул кристаллита  $Na^+Cl^-$ . Величина искажений вблизи дефектов в  $NaCl$  такая же, как и в  $KCl$ , а именно  $\alpha \approx 2$ .

Продолжительный отжиг ( $600^\circ C$ , 4 ч) АОК  $NaCl$  приводит к постепенному растворению вначале метастабильной фазы, а затем и коллоида за счет стока F-центров на свободные поверхности [8]. При этом в результате закалки до комнатной температуры в кристалле остаются лишь ваканции (по-видимому, в основном  $v_a^+v_c^-$ ). И действительно, ДРРЛ для таких образцов обнаруживает искажение «междоузельной» ветви, согласуясь с расчетными данными для вакансий.

### Л и т е р а т у р а

- [1] Ehrhart P. Elektronen Bestrahl. Ber. Kerntorschungsanlage. Jülich, 1971, N 810, p. 1—48.
- [2] Чистов К. В. Модулированные структуры в стареющих сплавах. Киев: Наукова думка, 1975. 228 с.
- [3] Ямалеев К. М. Диффузное рассеяние рентгеновских лучей стареющими сплавами. М.: Наука, 1973. 96 с.
- [4] Вараксин А. Н., Колмогоров Ю. Н. Деп. ВИНТИ, 1985, № 1878-85. 34 с.
- [5] Шлюгер А. Л. Автореф. докт. дисс. М., 1987. 40 с.
- [6] Кривоглав М. А. Теория рассеяния рентгеновских лучей и тепловых нейтронов реальными кристаллами. М.: Наука, 1967. 336 с.
- [7] Chassagne G., Durand D., Serughetti J., Hobbs L. W. Phys. St. Sol., 1977, vol. A40, N 2, p. 629—640.
- [8] Гектин А. В., Птицын Г. В., Розенберг Г. Х. ФТТ, 1985, т. 27, № 5, с. 1391—1394.

НПО «Монокристаллреактив»  
Харьков

Поступило в Редакцию  
23 мая 1988 г.

УДК 537.311

Физика твердого тела, том 30, в. 10, 1988

Solid State Physics, vol. 30, № 10, 1988

## ЭЛЕКТРИЧЕСКИЕ СВОЙСТВА И ПОЛИМОРФНЫЕ ПЕРЕХОДЫ КРИСТАЛЛОВ $LiIO_3$

Н. А. Захаров, А. В. Егоров, Н. С. Козлова, О. Г. Портнов

Настоящая работа посвящена рассмотрению температурных зависимостей пьезомодулей и диэлектрических проницаемостей в известном пьезоэлектрике  $LiIO_3$ .

Для исследований использованы ориентированные монокристаллы оптического качества, полученные методом испарения растворителя при контролируемом отборе конденсата. Кристаллы относились к  $\alpha$ -фазе  $LiIO_3$  гексагональной модификации; параметры элементарной ячейки:  $a=5.48 \text{ \AA}$ ,  $b=5.17 \text{ \AA}$ ; пр. гр.  $P6_3$ . Диэлектрические проницаемости измеряли мостовым методом, измерительное напряжение 2 В,  $f=1000 \text{ Гц}$ . В качестве электродов использовали графитовую пасту. Измерение компонент матрицы пьезомодулей (см. таблицу) проводили в одном температурном цикле с измерением диэлектрической проницаемости с использованием квазистатического метода [1] ( $f=100 \text{ Гц}$ ) в динамическом режиме изменения температуры ( $50—75 \text{ град/ч}$ ) при непрерывной записи сигналов, пропорциональных измеряемым величинам. Точности измерения

температуры, определения значений пьезомодулей и диэлектрических проницаемостей равны соответственно  $\pm 1$  град, 5 %, 8 %. Коэффициенты электромеханической связи (КЭМС) в соответствии с [2] вычисляли как  $K^2 = (\epsilon^T - \epsilon^S)/\epsilon^T$  ( $\epsilon^T$ ,  $\epsilon^S$  — диэлектрические проницаемости механически свободного и механически зажатого кристалла) при использовании для определения  $\epsilon^S$  рычажного механизма нагружения кристалла.

Для гексагонального  $\alpha$ - $\text{LiIO}_3$ , где компоненты матриц  $d_{lm}$  и  $\epsilon_{ij}$  подчиняются соотношениям  $d_{14} = -d_{25}$ ,  $d_{15} = d_{24}$ ,  $d_{31} = d_{32}$ ,  $\epsilon_{11} = \epsilon_{22}$ , измеренные при 20 °C значения пьезомодулей по порядку величины соответствуют результатам, полученным с использованием статического метода [3]. Различие между статическими [3] и квазистатическими значениями  $d_{33}$ ,  $d_{31}$  можно объяснить устраниением в использованной нами методике влияния сильного пироэффекта вдоль оси  $X_3$  путем периодического закорачивания образца. Сообщавшиеся в [3] значения  $K_{33} = 0.95$  и  $K_{15} = 0.8$ , рассчитанные по измеренным упругим постоянным и диэлектрическим проницаемостям кристалла, являются, по-видимому, завышенными. Для исследованных кристаллов  $K_{33} = 0.37$ ,  $K_{31} = 0.35$ , что находится в лучшем соответствии с уточненными данными:  $K_{33} = 0.52$ ,  $K_{12} = 0.47$  [4]. Проведенные для серии кристаллов измерения свидетельствуют о зависимости величины КЭМС от условий их получения. В то же время в нашем случае значения  $K_{33}$  не превосходили 0.45.

Компоненты матриц  $d_{lm}$  и  $\epsilon_{ij}$  монокристаллов  $\alpha$ - $\text{LiIO}_3$  при 20 °C

| $d_{lm}, 10^{-8}$ ед. СГСЭ |          |          | $\epsilon_{ij}^S$               |                 |
|----------------------------|----------|----------|---------------------------------|-----------------|
| $d_{15}$                   | $d_{31}$ | $d_{33}$ | $\epsilon_{11} = \epsilon_{22}$ | $\epsilon_{33}$ |
| 111                        | 7.1      | 97       | 300                             | 1000            |

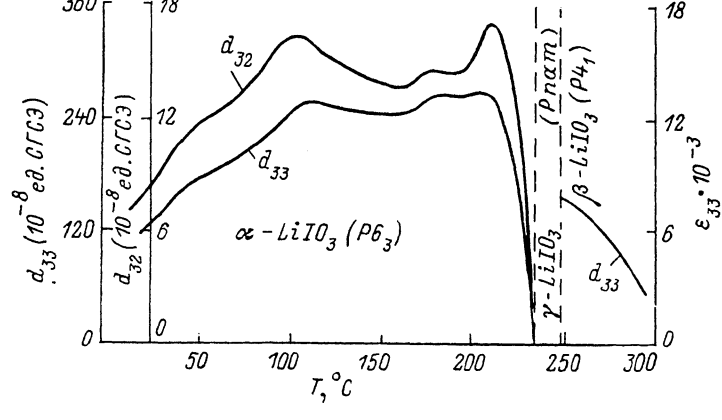


Рис. 1. Температурные зависимости пьезомодуля  $d_{33}$  и диэлектрической проницаемости  $\epsilon_{33}$  (20–300 °C) и пьезомодуля  $d_{32}$  (20–232 °C) кристалла  $\text{LiIO}_3$ .

В кристаллах  $\text{LiIO}_3$  методами рентгенографии и ДТА измерений выявлены три полиморфные модификации:  $\alpha$ ,  $\gamma$  и  $\beta$  [4]. В соответствии с [5, 6] ромбическая  $\gamma$ -фаза устойчива в области температур 250–285 °C и образуется при нагреве гексагонального  $\alpha$ - $\text{LiIO}_3$  до 247–249 °C (обратимый переход  $\alpha \rightleftharpoons \gamma$ ). Выше 285 °C происходит необратимый переход  $\gamma$ -фазы в тетрагональную  $\beta$ -фазу [7]. Пьезоэлектрические свойства были изучены только для  $\alpha$ -фазы: пьезомодули при комнатной температуре [3, 8, 9], температурная зависимость КЭМС (20–200 °C) [10]. Актуальной для перспективного к использованию в пьезотехнике кристалла  $\text{LiIO}_3$  является информация о температурной зависимости пьезомодулей и характере ее поведения в области полиморфных переходов.

Температурные зависимости  $d_{33}$  и  $d_{32}$  (рис. 1) имеют положительный температурный коэффициент в районе 20–110 °C. Полиморфный переход  $\alpha \rightarrow \gamma$  при нагревании характеризуется уменьшением до нуля вели-

чин  $d_{33}$ ,  $d_{32}$  и сопровождается резким ростом зависимости  $\ln \epsilon_{33}(T)$  (рис. 2). Пьезоэлектрическое тестирование подтверждает данные [4] об обратимости  $\alpha \rightleftharpoons \gamma$  перехода. Необратимый переход  $\gamma \rightarrow \beta$ , сопровождающийся скачком на зависимости  $\ln \epsilon_{33}(T)$ , для исследованных образцов наблюдали в интервале 238—250 °C. В соответствии с полученными результатами требует корректировки определенная рентгеновскими методами пр. гр.  $Pna2$  [12, 13]  $\gamma$ -фазы. Отсутствие пьезоэффекта в  $\gamma$ -фазе свидетельствует

в пользу пр. гр.  $Pnam$  ( $D_{2h}^{16}$ ) того же Лауз-класса. Аналогично с наличием пьезоэффекта в  $\beta$ -фазе согласуется пр. гр.  $P4_1$  ( $C_4^2$ ) одного Лауз-класса с сообщавшейся в [4] пр. гр.  $P4_2$ .

Ввиду недостатка информации наиболее затруднительно толкование аномалий в области  $\alpha$ -фазы. В качестве рабочей гипотезы с аномалией в районе 50 °C можно связать в соответствии с [4] зарождение метастабильной  $\gamma$ -фазы. По данным [11], аномалия при 110 °C объясняется выделением в области включений маточного раствора кри-

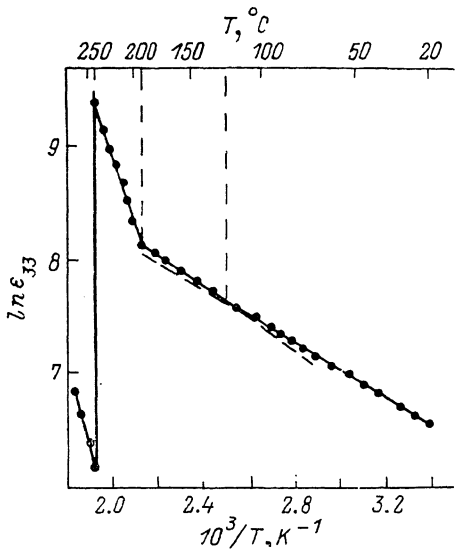


Рис. 2. Зависимость  $\ln \epsilon_{33}$  от температуры.

сталла  $\alpha$ -LiIO<sub>3</sub>, представляющего собой твердый раствор Li<sub>x</sub>H<sub>1-x</sub>IO<sub>3</sub> при получении кристалла из кислого (pH=2) раствора, и плавлением HIO<sub>3</sub> ( $T_{\text{пл}} = 110$  °C). Тогда с учетом экспоненциальной температурной зависимости  $\epsilon_{33}$ , характерной для процесса старения, по кривой  $\ln \epsilon_{33}(T)$  можно выделить по меньшей мере два процесса, подчиняющихся этой закономерности и развивающихся в областях температур 20—110 и 110—190 °C. Если перегиб на зависимости  $\ln \epsilon_{33}(T)$  при 110 °C можно связать с изменением агрегатного состояния HIO<sub>3</sub>, то перегиб при 190 °C связан с интенсивным ростом содержания  $\gamma$ -фазы в объеме кристалла. Влияние условий получения, совершенства и термической предыстории образца на температуры фазовых переходов и аномалии в области  $\alpha$ -фазы будут сообщены позднее.

#### Л и т е р а т у р а

- [1] Смажевская Е. Г., Фельдман Н. Б. Пьезоэлектрическая керамика. М.: Сов. радио, 1971, с. 141.
- [2] Желудев И. С. Физика кристаллических диэлектриков. М.: Наука, 1968, с. 383.
- [3] Haussühl S. Phys. St. Sol., 1968, Bd 29, N 1, K159—K162.
- [4] Иодат лития (выращивание кристаллов, их свойства и применение) / Под ред. С. В. Богданова. Новосибирск: Наука, 1980. 144 с.
- [5] Arend H., Remoissenet M., Staehlin W. Mat. Res. Bull., 1972, vol. 7, N 9, p. 869—872.
- [6] Marennikov S. I., Orlov V. A., Fomin Yu. N., Kidyarov B. I. Sol. St. Commun., 1976, vol. 20, N 4, p. 443—446.
- [7] Matsumura S. Mat. Res. Bull., 1971, vol. 6, N 5, p. 469—478.
- [8] Haussühl S. Acoustica, 1970, Bd 23, N 3, S. 165—169.
- [9] Warner A. W., Pinnow D. A., Bergman J. G., Cranc G. R. J. Acoust. Soc. Amer., 1970, vol. 47, N 3, p. 791—794.
- [10] Авдеенко К. И., Богданов С. В., Кидяров Б. И. и др. Изв. АН СССР. Сер. физ., 1977, т. 41, № 4, с. 700—706.
- [11] Блистанов А. А., Герасъкин В. В., Гармаш О. В. и др. Кристаллография, 1986, т. 31, № 4, с. 782—786.
- [12] Crettez J. M., Coquet E., Pannetier J. et al. J. Sol. St. Chem., 1985, vol. 56, p. 113—147.
- [13] Liming R., Svensson C., Albertson J. J. Chem. Phys., 1982, vol. 77, N 8, p. 4222—4226.